

О МАКРОСТРУКТУРЕ ОДНОРОДНЫХ ВЫЧИСЛИТЕЛЬНЫХ СИСТЕМ

В.В. Корнеев

Понятие макроструктуры однородной вычислительной системы (ОВС) введено в [1]. На макроструктурном уровне рассмотрения ОВС состоит из трех основных частей: элементарных машин (ЭМ), коммутаторов (К) и линий связи (ЛС). Коммутаторы и линии связи образуют систему связи ОВС.

Граф системы связи будем называть структурой ОВС. В работе [2] рассмотрены требования, предъявляемые к структурам ОВС, и введен класс конечных абелевых изотропных симметричных структур (КАИС-структур). Класс КАИС-структур с точностью до направлений ребер совпадает с классом групп-графов транзитивных групп автоморфизмов структур [3]. Групп-графом называется ориентированный граф  $\Gamma$ , вершинам которого поставлены во взаимно-однозначное соответствие элементы группы  $G$ . Две вершины графа  $\Gamma$  связаны с ребром  $\{g, g'\}$ , если существует такой элемент  $g_0 \in G_0$ , что  $g' = g \cdot g_0$ ;  $G_0 \subset G$  — некоторое конечное подмножество. Элементы, входящие в  $G_0$ , называются образующими группы. Если использовать для отметок ребер графа  $\Gamma$  элементы  $G_0$ , то получим диаграмму Кэли группы  $G$ .

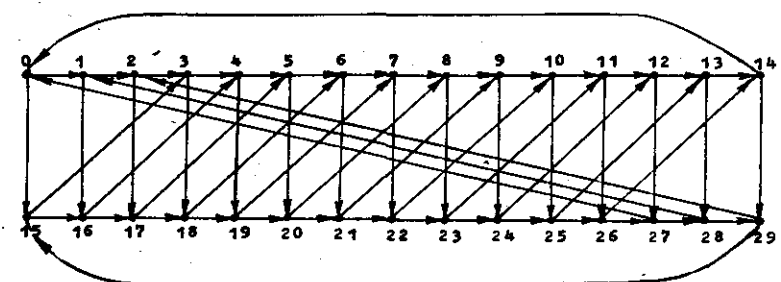
I. Групповое описание КАИС-структур. Каждой КАИС-структуре со степенью вершины  $n$  и числом вершин  $N$  можно поставить в соответствие, причем не единственным образом, группу  $G$  порядка  $N$  с числом образующих  $k = \lceil \frac{n+1}{2} \rceil$ ,  $\lceil x \rceil$  — целая часть  $x$ . В дальнейшем  $k$  будем называть размерностью КАИС-структуры. Рассмотрим возможные групповые описания одной и той же КАИС-структуры.

I.I. КАИС-структуры представляют собой неориентированные графы, а групп-графы являются ориентированными. Вследствие

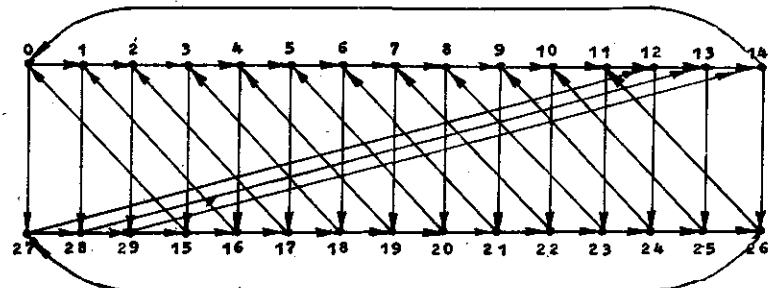
этого одной и той же КАИС-структуре может соответствовать несколько групп-графов, отличающихся друг от друга ориентацией ребер и определяемыми группами, имеющими одинаковое количество образующих, но разные определяющие соотношения. Будем говорить, что эти группы принадлежат одному классу эквивалентности. Число групп в классе эквивалентности меньше, либо равно  $2^k$ , где  $k$  – число образующих. Доказательство этого факта основано на том, что группа, описывающая КАИС-структуру, полностью определяется заданием ориентации ребер в какой-либо точке структуры, но число возможных переориентаций ребер равно  $2^k$  и некоторые ориентации ребер могут задавать одну и ту же группу.

Таким образом, если мы имеем группу  $G^*$  из класса эквивалентности  $K_{G^*}$ , то получить все остальные группы класса  $K_{G^*}$  можно следующим путем. Выбираем некоторое подмножество образующих, заменяя прямые вхождения выбранных образующих в определяющих соотношениях группы  $G^*$  на обратные, а обратные – на прямые. Проделываем эту операцию для всех возможных подмножеств образующих. Рассмотрим пример: пусть  $G^*$  описывается определяющими соотношениями  $\begin{cases} \alpha^{15} = 1 \\ \beta^2 = \alpha^3 \end{cases}$ , тогда группа  $G \in K_{G^*}$ , получаящаяся из  $G^*$  путем переориентации образующей  $\beta$ , имеет соотношения  $\begin{cases} \alpha^{15} = 1 \\ \beta^2 = \alpha^{12} \end{cases}$ . Здесь и далее определяющие соотношения, задающие коммутируемость образующих группы, опускаются, так как речь идет о коммутативных группах. На рис. I приведены соответствующие этим группам групп-графы. Очевидно, что они задают одну и ту же КАИС-структуру, что наглядно показывается нумерацией вершин.

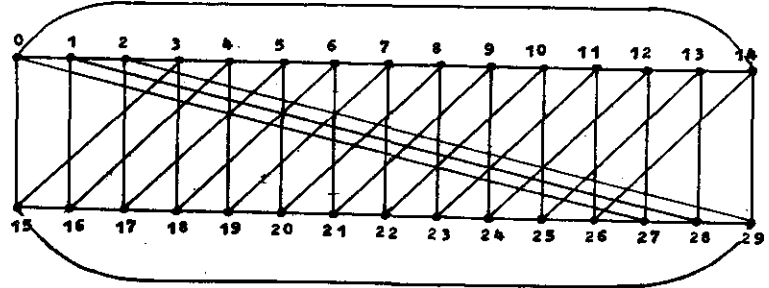
1.2. Определяющие соотношения группы  $G$  могут быть записаны в различной форме. Так, например, соотношения  $\begin{cases} \alpha^{15} = 1 \\ \beta^2 = \alpha^3 \end{cases}$  могут быть записаны в виде  $\begin{cases} \beta^{10} = 1 \\ \alpha^3 = \beta^2 \end{cases}$ . Указанное преобразование определяющих соотношений производится следующим образом: отыскивается порядок  $\rho_e$  образующей  $e$  и записывается соответствующее определяющее соотношение –  $e^{\rho_e} = 1$ . Далее, с учетом этого соотношения преобразуются остальные, если это необходимо. На рис. I и 2 показаны групп-графы, соответствующие двум различным записям определяющих соотношений, приведенным выше. Ясно, что указанные ориентированные графы полностью совпадают.



Групп-граф группы  $\begin{cases} \alpha^{15} = 1 \\ \beta^2 = \alpha^3 \end{cases}$



Групп-граф группы  $\begin{cases} \alpha^{15} = 1 \\ \beta^2 = \alpha^{12} \end{cases}$



КАИС-структура

Рис. I. Групп-графы для двух различных записей определяющих соотношений

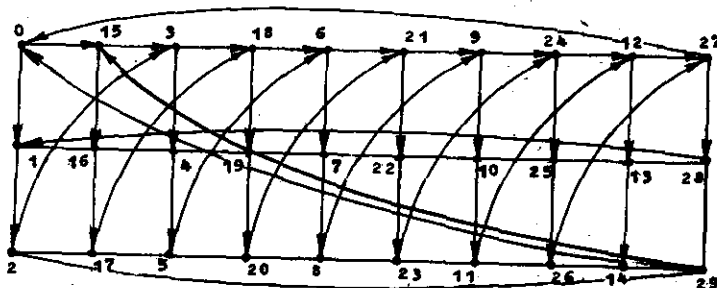


Рис. 2

I.3. Наконец, определяющие соотношения группы  $G$  могут быть записаны в различных видах, которые отличаются друг от друга простой заменой одних символов на другие. Например,  $\begin{cases} \alpha^{10} = 1 \\ \beta^3 = \alpha^2 \end{cases}$  и  $\begin{cases} \beta^{10} = 1 \\ \alpha^3 = \beta^2 \end{cases}$ .

I.4. Итак, одна и та же КАИС-структура может быть описана различными определяющими соотношениями, соответствующими либо различным группам (I.1), либо различным записям определяющих соотношений одной и той же группы (I.2, I.3). Выберем в качестве описания КАИС-структуры из множества задающих её группы группу со следующим представлением определяющих соотношений:

- 1) образующие обозначены  $\alpha, \beta, c, \dots$ ;
- 2) образующая  $\alpha$  должна иметь наибольший порядок,  $\beta$  – следующий по величине и т.д.;
- 3) сумма модулей степеней образующих в правой части определяющих соотношений должна быть минимальной.

На основании этих требований из всех приведенных в примерах (I.1; I.2; I.3) определяющих соотношений групп, соответствующих КАИС-структуре на рис. 1, выбираем определяющие соотношения  $\begin{cases} \alpha^{15} = 1 \\ \beta^2 = \alpha^3 \end{cases}$ .

2. Оптимальные структуры. Основными требованиями [2], предъявляемыми к внутренней организации ОВС, являются: обеспечение максимальных значений показателей живучести и коммутируемости, минимальных средней и наибольшей задержек при транзитных передачах сообщений. Перечисленные показатели зависят как от алгоритмов функционирования ОВС, так и от структуры ОВС.

Нашей задачей является выбор из класса  $\theta(N, k)$  – КАИС-структур одинаковой размерности  $k$  и с одинаковым числом вершин  $N$  такой КАИС-структуры, которая бы обеспечивала оптимум показателей функционирования ОВС. Рассматривая различные структуры, будем сравнивать предельные значения показателей живучести, коммутируемости и задержек при транзитных передачах, обусловленных структурой ОВС, полагая, что соответствующие алгоритмы функционирования полностью используют возможности, предоставленные структурами. Назовем указанные предельные значения соответственно функциями структурной живучести, структурной коммутируемости и структурной задержки при транзитной передаче. Ниже будут рассмотрены вопросы выбора структуры из класса  $\theta(N, k)$ , имеющей экстремальные предельные значения перечисленных выше параметров.

2.1.1. Компоненты  $P_j$  вектор-функции  $\mathcal{P}$  структурной живучести равны вероятности образования подсистемы ранга  $j, j \in \{1, 2, \dots, N\}$ , при заданных коэффициентах готовности  $P_{\text{ЭМ}}$ ,  $P_k$  и  $P_{\text{СВ}}$ , соответственно ЭМ, К и ЛС;  $N$  – число ЭМ в ОВС. Подсистемой ранга  $j$  называется совокупность не менее  $j$  исправных ЭМ, связанных каналами так, что возможна передача информации из любой ЭМ во все остальные ЭМ подсистемы (при этом каналы связи считаются двусторонними, и для передачи могут быть использованы коммутаторы исправных ЭМ). Под коэффициентом готовности устройства понимается вероятность того, что оно исправно в произвольный момент времени.

$$P_j = \sum_{i=j}^N P_i^j (P_{\text{ЭМ}}) \cdot \mathcal{P}_N^i (\alpha, P_k, P_{\text{СВ}}),$$

где  $P_i^j (P_{\text{ЭМ}})$  – вероятность того, что из  $i$  ЭМ можно организовать подсистему ранга  $j$  при заданном коэффициенте  $P_{\text{ЭМ}}$  готовности ЭМ и абсолютно надежной системе связи;

$\mathcal{P}_N^i (\alpha, P_k, P_{\text{СВ}})$  – вероятность того, что из  $N$  абсолютно надежных ЭМ может быть образована подсистема ранга  $i$  при заданных структуре  $\alpha$ , коэффициентах готовности  $P_k$  и  $P_{\text{СВ}}$  соответственно коммутатора и связи.

Вероятности  $P_i^j$  ( $\rho_{\text{ЭМ}}$ ) могут быть вычислены методами, предложенными в работе [4]. Вероятность  $P_N^i$  ( $\vartheta, \rho_k, \rho_{cb}$ ) непосредственно зависит от структуры системы.

**УТВЕРЖДЕНИЕ 2.1.1.** В классе  $\Theta(N, k)$  вероятность  $P_N^i$  ( $\vartheta, \rho_k, \rho_{cb}$ ) при любых значениях  $i, \rho_k, \rho_{cb}$  достигает максимума на структуре  $\vartheta^* \in \Theta(N, k)$ , группа которой удовлетворяет следующим свойствам:

$$a) \sum_{j=1}^k |\alpha_j| \leq \min_{\vartheta \in \Theta(N, k)} \max_{j=1}^k |\alpha_j|,$$

б) число элементов группы с

$$\sum_{j=1}^k |\alpha_j| = \min_{\vartheta \in \Theta(N, k)} \max_{j=1}^k |\alpha_j|$$

минимально.

Здесь  $k$  – число образующих группы класса  $\Theta(N, k)$ ;

$\alpha_j$  – показатель степени при образующей  $j$ .

Доказательство утверждения проведем в два этапа. На первом выделим свойства группы  $\vartheta^* \in \Theta(N, k)$ , удовлетворяющей условиям а) и б), на втором – докажем собственно утверждение.

Рассмотрим бесконечную абелеву группу  $G_\infty^k$ , имеющую  $k$  образующих  $\alpha_1, \alpha_2, \dots, \alpha_k$  и определяющие соотношения вида:  $\alpha_j \alpha_i = \alpha_i \alpha_j$ ,  $i, j \in \overline{1, k}$ , то есть у группы  $G_\infty^k$  нет никаких иных определяющих соотношений кроме тех, которые задают коммутируемость образующих. Построим граф  $M(m)$  со следующими свойствами. Число вершин графа  $M(m)$  равно числу элементов группы  $G_\infty^k$  с суммой модулей степеней образующих, меньшей или равной  $m$ . В дальнейшем это число будет обозначаться через  $S^k(m)$ . Сопоставим каждой вершине  $M(m)$  элемент группы  $G_\infty^k$  с суммой модулей степеней образующих, меньшей или равной  $m$ . Две вершины  $p$  и  $q$  графа  $M(m)$  связаны ребром  $\{p, q\}$ , если соответствующие им элементы группы  $G_\infty^k$   $b_p$  и  $b_q$  удовлетворяют следующему условию:  $b_p \cdot \alpha_e = b_q$ ;  $e = \overline{1, k}$ . При этом ребру  $\{p, q\}$  сопоставляется отметка  $\alpha_e$ , если  $p$  принадлежит ярусу  $j$ , а  $q$  – ярусу  $(j+1)$ , и отметка  $\alpha_e^{-1}$ , если  $p$  принадлежит ярусу  $(j+1)$ , а  $q$  – ярусу  $j$ . Будем говорить, что вершина

графа  $M(m)$  принадлежит ярусу  $j$ , если сумма модулей степеней образующих сопоставленного ей элемента группы равна  $j$ .

**УТВЕРЖДЕНИЕ 2.1.2.**

$$S^k(m) = S^{k-1}(m) + 2 \sum_{i=0}^{m-1} S^{k-1}(i).$$

Элемент  $\{\alpha_1, \alpha_2, \dots, \alpha_k\}$  группы  $G_\infty^k$  получается в результате умножения элемента  $\{\alpha_1, \alpha_2, \dots, \alpha_{k-1}\}$  группы  $G_\infty^{k-1}$  на  $\alpha_k$ . Элементы  $G_\infty^k$  с суммой модулей степеней образующих, меньшей или равной  $m$ , образуются путем умножения элементов  $G_\infty^{k-1}$  с суммой модулей степеней образующих, меньшей или равной  $(m-i)$ , на  $\alpha_k$ , где  $|\alpha_k| = i$ . Так как  $i$  может принимать значения от 0 до  $m$ , то  $\alpha_k$  пробегает ряд  $0, \pm 1, \dots, \pm m$ . Суммирование по всем значениям  $\alpha_k$  дает:

$$S^k(m) = S^{k-1}(m) + 2 \sum_{i=0}^{m-1} S^{k-1}(i),$$

что и требовалось доказать.

Приведем выражения  $S^k(m)$  для частных значений  $k$ , представляющих наибольший интерес для приложений.

$$S^1(m) = 2m+1; \quad S^3(m) = \frac{(2m+1)^3 + 5(2m+1)}{6};$$

$$S^2(m) = 2m^2 + 2m + 1; \quad S^4(m) = \frac{4m^4 + 8m^3 + 20m^2 + 16m + 6}{6}.$$

**УТВЕРЖДЕНИЕ 2.1.3.** Для любого  $N$  и любого  $k \leq N-1$  существует абелева группа  $G_N^k$  с  $k$  образующими, имеющая  $S^k(i)$  элементов с суммой модулей степеней образующих равной  $i$  ( $i \leq m^{*}-1$ ), и  $N - S^k(m^{*}-1)$  элементов с суммой модулей степеней образующих, равной  $m^*$ , где  $m^*$  получается из неравенства  $S^k(m^{*}-1) < N \leq S^k(m^*)$ .

В общем случае доказательство утверждения получить не удалось, но проверена его справедливость для  $k=2, 3$  и  $N \in [10 \div 200]$ , то есть получены соответствующие группы  $G_N^k$ .

Структура  $\mathcal{A}^* \in \Theta(N, k)$ , описываемая группой  $G_N^k$ , удовлетворяет условиям а) и б) утверждения 2.1.1. Очевидно, что структура  $\mathcal{A}^*$  включает в качестве подграфа граф  $M(m^*-1)$ . Но  $M(m^*-1)$  имеет максимально возможное для выбранного значения  $k$  число вершин  $S^k(m^*-1)$ . Следовательно,  $m^*$  является минимальной суммой модулей степеней образующих для данного порядка  $N$  и данной размерности  $k$ , то есть  $\mathcal{A}^*$  удовлетворяет условию а). Так как  $\mathcal{A}^*$  имеет число элементов с суммой модулей степеней образующих, равной  $m^*(N-S^k(m^*-1))$ , которое является минимально возможным для данного  $N$  и  $k$ , то выполняется также условие б).

**СЛЕДСТВИЕ 2.1.1.** Число элементов с суммой модулей степеней образующих, равной  $m(0 < m < m^*-1)$ , в структуре  $\mathcal{A}^*$  равно  $S^k(m)-S^k(m-1)$  и является максимально возможным числом элементов с суммой модулей степеней образующих, равной  $m$ , для всех структур класса  $\Theta(N, k)$ .

Перейдем ко второму этапу доказательства утверждения 2.1.1. Утверждение будет доказано, если мы покажем, что вероятность образования на структуре  $\mathcal{A}^*$  подсистемы ранга  $\tau$ , включающей произвольную вершину структуры, больше или равна вероятности образования соответствующей подсистемы на любой другой структуре класса  $\Theta(N, k)$ . Тогда в силу однородности рассматриваемых структур вероятность образования подсистемы ранга  $\tau$  на структуре  $\mathcal{A}^*$  будет больше или равна соответствующей вероятности на любой другой структуре  $\mathcal{A} \in \Theta(N, k)$ .

Итак, рассмотрим две структуры класса  $\Theta(N, k)$ : структуру  $\mathcal{A}^*$  с группой  $G^*$  и структуру  $\mathcal{A}$  с группой  $G$ . Каждому пути из одной вершины структуры в другую вершину однозначным образом может быть сопоставлена упорядоченная последовательность отметок. Число путей в групп-графах  $G^*$  и  $G$  из вершины, помеченной единицей группы, в вершину с отметкой  $\{\alpha_1, \dots, \alpha_k\}$  не превышает  $(\sum_{j=1}^k |\alpha_j|!) / (|\alpha_1|! \dots |\alpha_k|!)$ . Количество отметок в упорядоченной последовательности, соответствующей пути  $P$ , называется длиной пути.

Подсистема ранга  $\tau$ , включающая вершину, отмеченную единицей, является объединением путей, сумма длин которых больше или равна  $(\tau-1)$ . В силу вышеизложенных свойств структура  $\mathcal{A}^*$  в классе  $\Theta(N, k)$  имеет наибольшее число путей заданной длины. Это обусловлено тем, что в любой структуре  $\mathcal{A} \in \Theta(N, k)$ , не совпадающей с  $\mathcal{A}^*$ , число вершин, отмеченных элементами группы с суммой модулей степеней образующих, равной  $m(0 < m < m^*)$ , меньше или равно максимально возможному. Но тогда общее число путей длины  $m$  в структуре  $\mathcal{A}$  меньше, чем в  $\mathcal{A}^*$ , так как пути, являющиеся различными в  $\mathcal{A}^*$ , неразличимы в  $\mathcal{A}$ . Следовательно, если  $M_j$  – число различных путей заданной длины  $j$  на структуре  $\mathcal{A}$ , то  $M_j^{A^*} \geq M_j^A \dots M_{m^*-1}^A \geq M_{m^*-1}^A$ . Отсюда число различных объединений путей с суммой длин, большей или равной  $(\tau-1)$ , на структуре  $\mathcal{A}^*$  больше либо равно числу соответствующих объединений на структуре  $\mathcal{A}$ . А так как различные объединения путей с одинаковой суммой длин  $R$  имеют вероятность  $\rho_k^R \times \rho_{cb}^{R-1}$ , то вероятность образования подсистемы ранга  $\tau$ , включающей вершину с отметкой I на структуре  $\mathcal{A}^*$ , больше соответствующей вероятности на структуре  $\mathcal{A}$ .

Мы не использовали никаких ограничений на величины  $i, \rho_k, \rho_{cb}$ , поэтому наши рассуждения справедливы для любых  $i, \rho_k, \rho_{cb}$ . Таким образом, утверждение 2.1.1. доказано.

**2.1.2.** Методом статистических испытаний были вычислены значения вектор-функции структурной живучести для различных КАИС-структур размерности 2 с числом вершин 30. Результаты для "лучшей", в смысле живучести, структуры  $\mathcal{A}^*$ , описываемой группой  $\{\alpha^{15} = 1, \alpha^2 = \alpha^6\}$ , и структуры  $\mathcal{A}$ , описываемой группой  $\{\alpha^{30} = 1, b = \alpha^2\}$ , приведены на рис.3, причем линия 1 соответствует структуре  $\mathcal{A}^*$ , а линия 2 – структуре  $\mathcal{A}$ . Коэффициент готовности  $\rho_k = \rho_{cb} = 0,9$ . Теоретические выводы относительно поведения вектор-функции структурной живучести, полученные в п. 2.1.1, полностью подтверждаются результатами моделирования.

**2.2.** В [3] показано, что всякая КАИС-структура с заданной размерностью  $k$ , начиная с некоторого числа вершин  $N_k$ , не является  $m$ -коммутируемой ни для какого значения  $m$ . В то же время в класс КАИС-структур с заданной размерностью  $k$  входит полный граф с  $(k+1)$  вершиной, который является  $I$ -коммутируе-

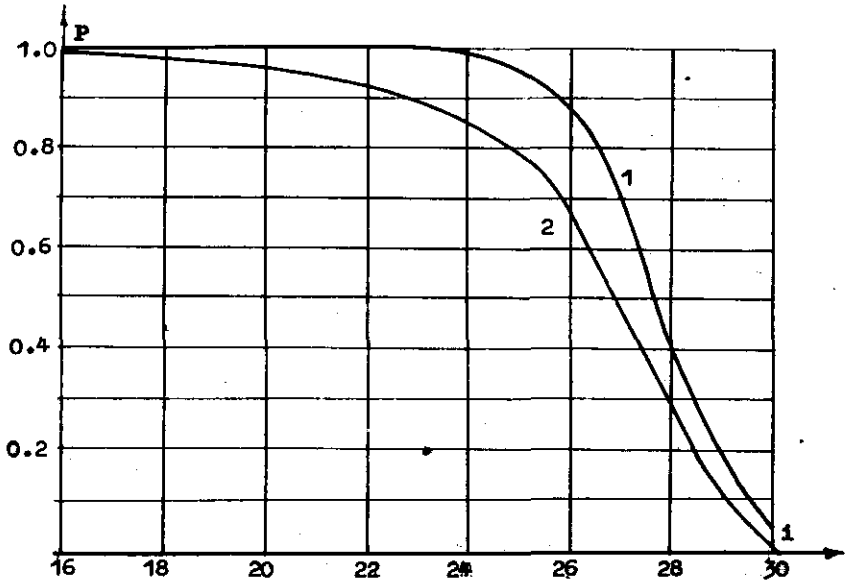


Рис. 3

мым. В работе [2] введена мера коммутируемости  $\rho(\vartheta, \ell, m)$  – вероятность того, что на структуре  $\vartheta$  может быть не менее  $\ell$  произвольных коммутаций, причем каждая связь использована при этом не более чем в  $m$  различных коммутациях.

Выдвигается следующая

**ГИПОТЕЗА.** На структурах класса  $\Theta$  (см. утверждение 2.1.1) максимум  $\rho(\vartheta, \ell, m)$  при любых значения  $\ell$  и  $m$  достигается на структуре  $\vartheta^*$ .

В пользу этой гипотезы говорит то, что структура  $\vartheta^*$  по своим свойствам ближе к полному графу, чем какая-либо другая структура  $\vartheta \in \Theta(N, k)$ .

**2.3. Структура  $\vartheta^*$  класса  $\Theta$ , обеспечивающая минимум максимальной и средней задержек при транзитных передачах, должна удовлетворять следующим свойствам:**

$$\min_{i,j} \max_{\vartheta'} d_{ij}(\vartheta') \leq \min_{i,j} \max_{\vartheta} d_{ij}(\vartheta); \quad (1)$$

$$M[d_{ij}(\vartheta')] \leq M[d_{ij}(\vartheta)], \quad (2)$$

где  $\vartheta$  – любая структура класса  $\Theta$ ;

$d_{ij}(\vartheta)$  – расстояние между точками  $i$  и  $j$  на структуре  $\vartheta$ ;

$M[d_{ij}(\vartheta)]$  – математическое ожидание расстояния между любыми двумя вершинами структуры  $\vartheta$  при равновероятном выборе пар вершин.

**УТВЕРЖДЕНИЕ 2.3.1.** Структура  $\vartheta^* \in \Theta(N, k)$  является структурой  $\vartheta^*$ .

Требование I) аналогично требованию а) утверждения 2.1.1, так как минимум максимума суммы модулей степеней образующих элементов группы, соответствующей  $\vartheta^*$ , означает минимум максимального расстояния между вершинами структуры. В силу свойств КАИС-структур  $M[d_{ij}(\vartheta)]$  не зависит от выбора  $i$ .

$$M[d_{ij}(\vartheta)] = \frac{1}{N-1} \sum_{j=1}^N d_{ij},$$

где  $N$  – число вершин структуры  $\vartheta$ . Так как  $\vartheta^*$  содержит максимально возможное число вершин на расстояниях 1, 2, ..., ( $m^*-1$ ) и минимальное число вершин на расстоянии  $m^*$  среди всех структур  $\vartheta$ , то утверждение 2.3.1 полностью доказано.

**2.4.** Из прп. 2.1, 2.2, 2.3 следует, что всем требованиям к структурам ОВС удовлетворяет  $\vartheta^* \in \Theta(N, k)$  из утверждения 2.1.1. Будем называть  $\vartheta^*$  оптимальной структурой размерности  $k$  с числом вершин  $N$  и обозначать  $\vartheta(N, k)$ . С помощью ЭВМ составлен каталог оптимальных структур, позволяющий по заданному числу вершин и размерности определить группу и список структур, который задает номера связанных вершин. Фрагмент каталога оптимальных структур приведен на рис.4, где число ЭМ – число вершин структуры; число связей – размерность структуры; диаметр –  $M[d_{ij}]$ .

**2.5.** Для оптимальных структур  $\vartheta(N, k)$  имеется возможность вычислить  $M[d_{ij}(\vartheta)]$ . В самом деле, следствие 2.1.1 определяет число вершин, находящихся на расстоянии  $i$  от любой фиксированной вершины.

Каталог однородных структур		лист
Число ЭМ	= 010	
Число связей	004	
Диаметр $O = + 1399999 + 1$		
Группа автоморфизмов		
A	010 = I	
B	001 = A 004	
Список структуры		
000:001 002 003 004		
001:005 006 000 007		
002:006 008 009 000		
003:000 009 008 006		
004:007 000 006 005		
005:009 004 001 008		
006:004 003 002 001		
007:008 001 004 009		
008:003 005 007 002		
009:002 007 005 003		

Рис. 4

Отсюда

$$M[a_{ij}] = \frac{1}{N-1} \left( \sum_{i=1}^{m^*-1} i \Delta S_i^k \cdot [N - S^k(m^*-1)] \cdot m^* \right),$$

где  $\Delta S^k(i) = S^k(i) - S^k(i-1)$ .

Заметим, что  $m^*$  является максимальной структурной задержкой при транзитной передаче. На рис. 5 приведены зависимости  $M[a_{ij}(N)]$  от числа вершин  $N$  и размерности структур. Линиям 1, 2, 3 соответствуют размерности 2, 3, 4.

3. Вектор-функция структурной живучести  $\mathcal{P}_N^{\alpha}(v, \rho_k, \rho_{cb})$ .

3.1. Рассмотрим процесс вычисления компонент вектор-функции живучести для КАИС-структур размежности 1, называемых в дальнейшем  $K_N$ -структурами (кольцевые структуры с  $N$  вершинами). Для  $K_N$ -структур, очевидно, можно записать:  $\mathcal{P}_N^{\alpha}(K_N, \rho_k, \rho_{cb}) = \mathcal{P}_N^{\alpha}(K_N, \rho_k)$ , так как надежность связи легко пересчитывается в надежность коммутаторов. Определим  $\mathcal{P}_N^{\alpha}(K_N, \rho_k)$ . Перенумеруем вершины  $K_N$  структуры номерами  $0 \div (N-1)$  так, чтобы вершина с

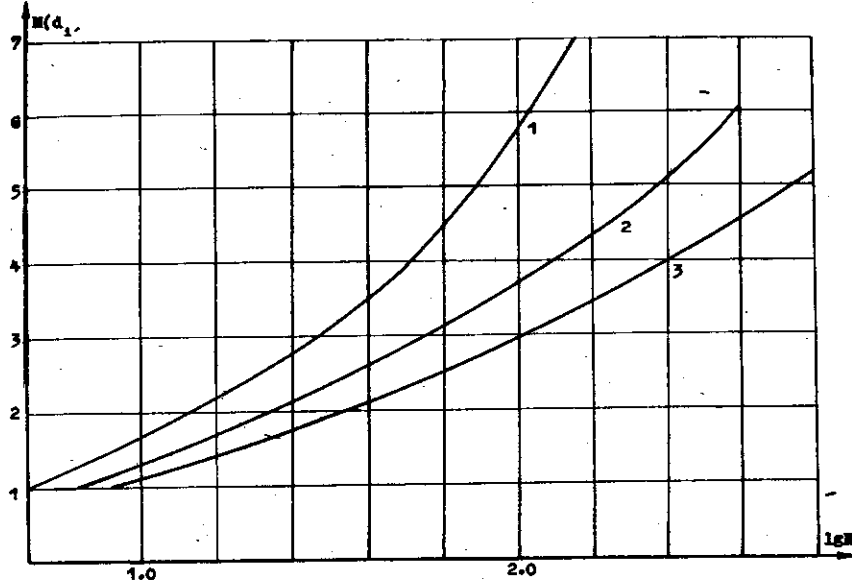


Рис. 5

номером  $j$  была связана с вершинами, имеющими номера  $(j-1) \bmod N$  и  $(j+1) \bmod N$ .

Событие, состоящее в том, что существует подсистема ранга  $\tau$ , может осуществляться следующими способами.

1. Нулевая вершина  $K_N$ -структуры находится в состоянии отказа, но подсистема ранга  $\tau$  существует (событие A). Обозначим вероятность этого события  $\Phi_0$ .

2. Нулевая вершина исправна и

a) образована подсистема ранга  $\tau$ , включающая нулевую вершину (событие B); вероятность этого события —  $\Phi_1^{\alpha}$ ;

б) подсистема, включающая вершину 0, имеет ранг меньше  $\tau$ , но есть подсистема ранга  $\tau$ , не включающая вершину 0 (событие C); вероятность этого события  $\Phi_1^{\delta}$ .

В этом случае  $\mathcal{P}_N^{\alpha}(K_N, \rho_k)$  будет равна  $\Phi_0 + \Phi_1^{\alpha} + \Phi_1^{\delta}$ . Определим каждую из величин этой суммы.

УТВЕРЖДЕНИЕ 3.1.1.  $\Phi$  является коэффициентом при  $t^N$  в

$$\sum_{i=0}^{N-\tau-1} \sum_{m=1}^{[(N-\tau-i+2)/2]} T(i, m),$$

где  $T(i, m) = (q_k t)^i [q_k t + \dots + (q_k t)^{N-\tau-i-2(m-1)}]^m$

$$\{ [P_k t + \dots + (P_k t)^{N-i-2m+1}]^m - [P_k t + \dots + (P_k t)^{\tau-1}]^m \}, \quad q_k = 1 - P_k.$$

В событие  $A$  входят события, состоящие в том, что  $i$  вершины после нулевой находятся в состоянии отказа. Так как нулевая вершина находится в состоянии отказа и имеется подсистема ранга  $\tau$ , то  $i \in \{0, \dots, (N-\tau-1)\}$ . Остальные  $(N-1)$  вершины разбиваются на равное число чередующихся отрезков исправных и неисправных вершин. В отрезок входят вершины с последовательными номерами, то есть за вершиной с номером  $j$  следует вершина с номером  $(j+1) \bmod N$ . Пусть общее число исправных вершин на отрезках  $L$ , тогда общее число вершин на исправных отрезках есть  $(N-i-L)$ . Нам необходимо подсчитать число композиций [5] с точно  $m$  частями, из которых хотя бы одна больше или равна  $\tau$  для всех возможных значений  $m$ . Умножив это число на количество композиций  $(N-i-L)$  с точно  $m$  частями, мы получим количество способов, которыми при заданном  $L$  можно расположить  $(N-i)$  точек. Взяв сумму по всем возможным значениям  $L$ , получим число способов реализации события  $A$ .

Производящей функцией числа композиций с точно  $m$  частями, из которых каждая не превосходит  $\tau$ , является [5]

$$C_m(t, \tau) = (t + t^2 + \dots + t^\tau)^m.$$

Максимальная длина отрезка исправных вершин, если число отрезков равно  $m$ , будет  $N-i-2m+1$ . Максимальная длина отрезка неисправных вершин при тех же условиях —  $N-\tau-i-2(m-1)$ . При этом для заданных  $m$  и  $i$  имеем:

$$T(i, m) = (q_k t)^i [q_k t + \dots + (q_k t)^{N-\tau-i-2(m-1)}]^m$$

$$\{ [P_k t + \dots + (P_k t)^{N-i-2m+1}]^m - [P_k t + \dots + (P_k t)^{\tau-1}]^m \}.$$

Для каждого  $i$  значения  $m$  пробегают ряд от 1 до  $\left[ \frac{N-\tau-i+2}{2} \right]$ . Очевидно, что при разных  $i$  и  $m$  мы получаем различные события, поэтому, взяв сумму по всем  $i$  и  $m$ , получим утверждение 3.1.1.

УТВЕРЖДЕНИЕ 3.1.2.

$$\Phi_1^{\alpha} = \sum_{j=2}^N T(j),$$

где

$$T(j) = \begin{cases} j P_k q_k^2, & j < N-1, \\ (N-1) P_k^j q_k, & j = N-1, \\ P_k^j, & j = N. \end{cases}$$

В  $B$  входят все события, состоящие в том, что образуется подсистема ранга  $j$ , включающая нулевую вершину;  $j = \{\tau, \tau+1, \dots, N\}$ . Очевидно,  $j$  вершин можно расположить относительно нулевой вершины  $j$  способами. При  $j < N-1$ ,  $j$  исправных вершин ограничены двумя неисправными, а при  $j = N-1$  — одной. Все  $j$  возможных расположений исправных вершин различны, так как в любых двух расположениях содержится вершина нуль. Поэтому найдется место, где в одном расположении должна стоять исправная точка, а в другом — неисправная. Кроме того, события для различных  $j$  не пересекаются, что доказывается аналогично предыдущему. Утверждение 3.1.2 доказано.

УТВЕРЖДЕНИЕ 3.1.3.  $\Phi_1^{\delta}$  является коэффициентом при  $t^N$  в

$$\sum_{k=1}^{N-\tau-1} \sum_{l=0}^{N-\tau-2} \sum_{m=1}^{N-\tau-2} T(k, l, i, m),$$

$$T(k, l, i, m) = (q_k t)^{k+l} [q_k t + \dots + (q_k t)^{N-k-l-1-2(m-1)-\tau-i}]^m \\ \times (P_k t)^{k+l} \{ [P_k t + \dots + (P_k t)^{N-k-l-2m+1}]^m - [P_k t + \dots + (P_k t)^{\tau-1}]^m \};$$

$$f = \frac{N-\tau-i-k-l+1}{2}.$$

В  $C$  входят события, состоящие в том, что образуется подсистема ранга меньше  $\tau$ , включающая вершину нуль, и подсистема

ранга  $\tau$ , не включая нулевую вершину. Подсистема, включающая нулевую вершину, может содержать вершины с номерами  $0, 1, \dots, (k-1), (N-1), (N-2) \dots (N-\ell)$ , причем  $k+\ell \leq \tau-1$ . Вершина с номером  $k$  есть отказавшая, остальные вершины разбиваются на чередующиеся отрезки исправных и неисправных вершин. Для подсчета числа событий при заданных  $k$  и  $\ell$  поступаем так же, как в утверждении 3.1.1, с той разницей, что число вершин не  $(N-i)$ , а  $(N-k-\ell-i-1)$ . Из доказательства утверждений 3.1.1 и 3.1.2 очевидно, что все события, полученные при различных  $k$ ,  $\ell$ ,  $i$ ,  $m$ , не пересекаются. Поэтому, взяв сумму по всем допустимым значениям  $k, \ell, i, m$ , получим утверждение 3.1.3.

3.1.1. Ниже приведено выражение для 3-й компоненты вектор-функции структурной живучести структуры  $K_{10}$ , вычисленной по вышеупомянутой методике.

$$\begin{aligned} \mathcal{D}_{10}^3(K_{10}, p_k) = & p_k^3(3q_k + 7q_k^2) + p_k^4(4q_k^2 + 36q_k^6) + \\ & + p_k^5(5q_k^2 + 97q_k^5) + p_k^6(6q_k^2 + 110q_k^4) + p_k^7(7q_k^2 + 61q_k^5) + \\ & + 20p_k^8q_k^2 + 10p_k^9q_k + p_k^{10}. \end{aligned}$$

На рис. 6 приведен график зависимости  $\mathcal{D}_{10}^3(K_{10}, p_k)$ . Точками показаны значения  $\mathcal{D}_{10}^3(K_{10}, p_k)$ , полученные методом статистических испытаний.

3.2. В пункте 3.1.1 продемонстрирована сложность получения аналитических выражений компонент вектор-функции структурной живучести даже в простейшем случае. В работе [6] авторы с помощью быстродействующей электронной вычислительной машины смогли получить для КАИС-структур размерности 2 число подсистем, ранг которых не превышает 10. При больших размерностях структуры и больших рангах исследуемых подсистем число вычислений становится настолько большим, что превышает возможность современных ЭВМ.

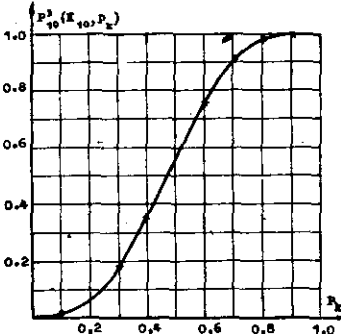


Рис. 6

размерности 2 число подсистем, ранг которых не превышает 10. При больших размерностях структуры и больших рангах исследуемых подсистем число вычислений становится настолько большим, что превышает возможность современных ЭВМ.

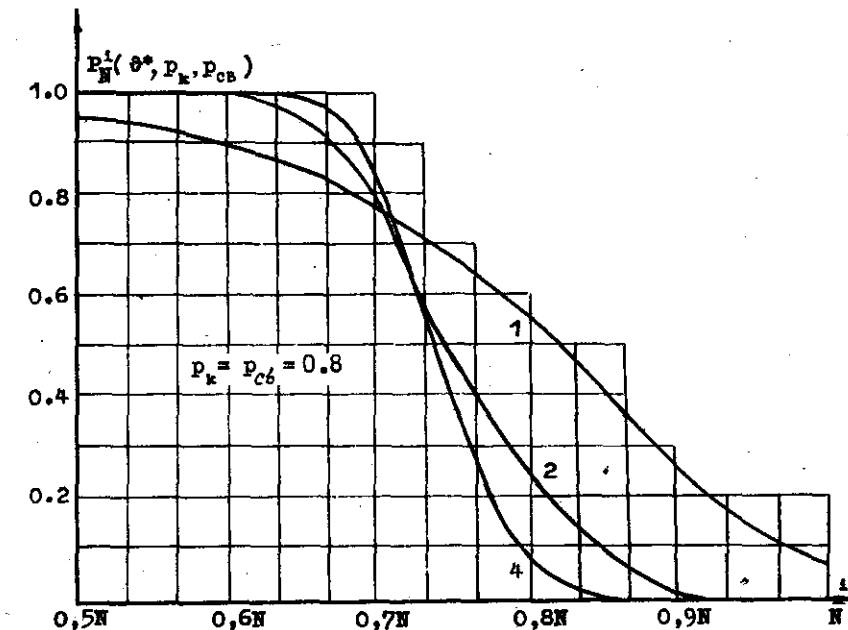


Рис. 7

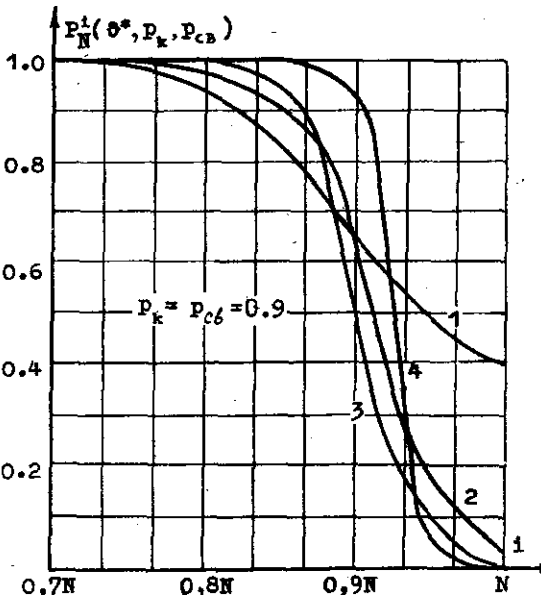


Рис. 8

Размерность структуры - 2.

Номер линии	Число вершин
1	10
2	50
3	90
4	120

Для определения вектор-функции структурной живучести был использован метод статистических испытаний. Результаты моделирования, приведенные на рис. 7 и 8, позволяют сделать следующие выводы:

- 1) существует пороговое значение радиуса подсистемы, до которого все компоненты вектор-функции живучести равны 1;
- 2) при одной и той же относительной величине  $e = r/N(0 < r \leq N)$  с ростом  $N$  растет  $e$ -компоненты соответствующей вектор-функции. Последний результат особо интересен, так как показывает, что с ростом числа ЭМ в однородной вычислительной системе имеется фактор, увеличивающий эффективность системы.

#### Л и т е р а т у р а

1. ЕВРЕИНОВ Э.Б., КОСАРЕВ Ю.Г. Однородные универсальные вычислительные системы высокой производительности. Новосибирск, "Наука", 1966.
2. ВОРОБЬЕВ В.А., КОРНЕЕВ В.В. Некоторые вопросы теории структур однородных вычислительных систем. -Настоящий сборник, стр. 3-16.
3. WAGNER E.G. On connecting modules together uniformly to form a modular computer. - "IEEE Trans. on EC", 1966, vol. EC-15, N 6, p.863-972.
4. ХОРОШЕВСКИЙ В.Г. Некоторые вопросы надежности однородных универсальных вычислительных систем. -В кн.: Вычислительные системы. Вып. 23. Новосибирск, 1966, стр. 69-90.
5. РИОРДАН Д.Ж. Введение в комбинаторный анализ. М., ИЛ, 1963.
6. READ R.C. Contribution to the cell-growth problem. - "Canadian J.Math.", 1962, vol. 14, p.1-20.

Поступила в ред.-изд.отд.  
23 октября 1973 года